

EVALUATION KIT MANUAL
FOLLOWS DATA SHEET

400MHz ~ 2.5GHzアップコンバータミキサ

MAX2660/MAX2661/MAX2663/MAX2671/MAX2673

概要

MAX2660/MAX2661/MAX2663/MAX2671/MAX2673は、超小型、低成本、低ノイズ、低電圧動作のアップコンバータミキサで、コンシューマ製品に最適な製品です。IF入力ポートの信号は、バランスドミキサを使用した局部発振器(LO)からの信号とミキシングされます。これらのアップコンバータミキサは40MHz ~ 500MHzのIF入力周波数で動作し、最高2.5GHz出力周波数までアップコンバートします。

これらのデバイスは広範囲の消費電流及び出力インターフェースレベルで、システム性能を最適なものとします。消費電流は指定電圧範囲において、常に一定です。またデバイスが $V_{SHDN}=0$ の通常動作時、シャットダウンモードにより消費電流を1μA以下に抑えることができます。

MAX2660/MAX2661/MAX2663/MAX2671は省スペースの6ピンSOT23パッケージで提供されています。IFポートのバランスを要するアプリケーションには、MAX2673(8ピンμMAX)を使用してください。

アプリケーション

400MHz/900MHz/2.4GHz ISM

ハンドヘルド機器

無線LAN(WLAN)

IEEE 802.11及びワイヤレスデータ

パーソナルコミュニケーションシステム(PCS)

セルラ及びコードレス電話

型番

| PART | TEMP. RANGE | PIN- PACKAGE | SOT TOP MARK |
|--------------|----------------|-----------------|-----------------|
| MAX2660EUT-T | -40°C to +85°C | 6 SOT23-6 | AAAF |
| MAX2661EUT-T | -40°C to +85°C | 6 SOT23-6 | AAAG |
| MAX2663EUT-T | -40°C to +85°C | 6 SOT23-6 | AAAL |
| MAX2671EUT-T | -40°C to +85°C | 6 SOT23-6 | AAAJ |
| MAX2673EUA | -40°C to +85°C | 8 μMAX | — |

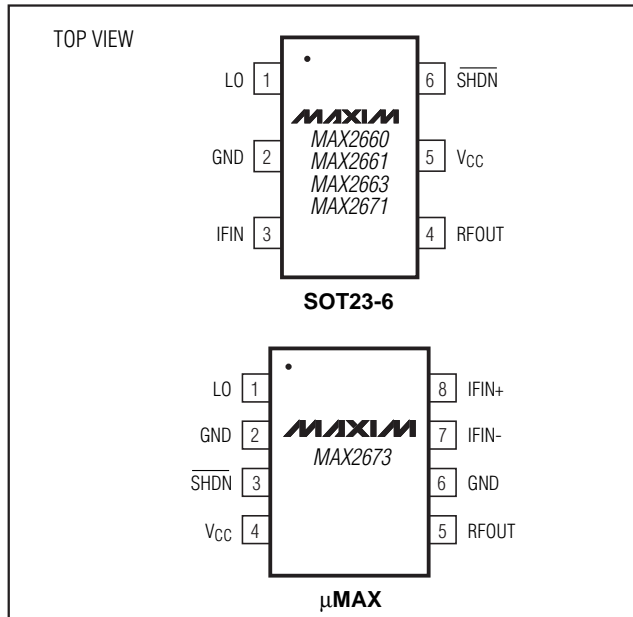
選択ガイド

| PART | I _{cc} (mA) | OUTPUT IP3 (dBm) at 900MHz | GAIN (dB) at 2450MHz | LO BUFFER | SINGLE-ENDED OR DIFFERENTIAL IF | PACKAGE |
|---------|-------------------------|-------------------------------|-------------------------|-----------|------------------------------------|---------|
| MAX2660 | 4.8 | 5.9 | 4.6 | No | Single-Ended | 6 SOT23 |
| MAX2661 | 8.3 | 7.1 | 8.2 | No | Single-Ended | 6 SOT23 |
| MAX2663 | 3.0 | 0.7 | 1.4 | No | Single-Ended | 6 SOT23 |
| MAX2671 | 11.8 | 9.6 | 8.9 | Yes | Single-Ended | 6 SOT23 |
| MAX2673 | 20.5 | 7.6 | 8.6 | Yes | Differential | 8 μMAX |

特長

- ◆ RF出力周波数 : 400MHz ~ 2.5GHz
- ◆ 低雑音指数 : 9.3dB(900MHz、 MAX2671)
- ◆ +2.7V ~ +5.5V単一電源
- ◆ 高出力インターフェースポート(OIP3)
 - 4.8mAの場合5.9dBm(MAX2660)
 - 8.3mAの場合7.1dBm(MAX2661)
 - 3.0mAの場合0.7dBm(MAX2663)
 - 11.8mAの場合9.6dBm(MAX2671)
 - 20.5mAの場合7.6dBm(MAX2673)
- ◆ 1μAシャットダウンモード
- ◆ パッケージ : 超小型表面実装タイプ

ピン配置



標準動作回路およびファンクションダイアグラムは、データシートの最後に記載しております。

400MHz ~ 2.5GHzアップコンバータミキサ

ABSOLUTE MAXIMUM RATINGS

| | |
|---|-----------------------------------|
| V _{CC} to GND | -0.3V to +6.0V |
| I _{FIN_} Input Power (50Ω source) | +10dBm |
| LO Input Power (50Ω source) | +10dBm |
| SHDN, RFOUT, I _{FIN_} , LO to GND | -0.3V to (V _{CC} + 0.3V) |
| Continuous Power Dissipation (T _A = +70°C) | |
| 8-Pin μMAX (derate 4.1mW/°C above +70°C) | 330mW |
| 6-Pin SOT23-6 (derate 8.7mW/°C above +70°C) | 696mW |

| | |
|-------------------------------------|-----------------|
| Operating Temperature Range | -40°C to +85°C |
| Junction Temperature | +150°C |
| Storage Temperature Range | -65°C to +160°C |
| Lead Temperature (soldering, 10sec) | +300°C |

Stresses beyond those listed under "Absolute Maximum Ratings" may cause permanent damage to the device. These are stress ratings only, and functional operation of the device at these or any other conditions beyond those indicated in the operational sections of the specifications is not implied. Exposure to absolute maximum rating conditions for extended periods may affect device reliability.

DC ELECTRICAL CHARACTERISTICS

(V_{CC} = +2.7V to +5.5V, SHDN = +2V, T_A = -40°C to +85°C, unless otherwise noted. Typical values are at V_{CC} = SHDN = +3.0V, T_A = +25°C. Minimum and maximum values are guaranteed over temperature by design and characterization.)

| PARAMETER | SYMBOL | CONDITIONS | MIN | TYP | MAX | UNITS |
|--|-----------------|---|-----|-----------------|------|-------|
| Operating Supply Current (LO and I _{FIN_} Unconnected) | I _{CC} | MAX2660 | | 4.8 | 6.6 | mA |
| | | MAX2661 | | 8.3 | 11.3 | |
| | | MAX2663 | | 3.0 | 4.1 | |
| | | MAX2671 | | 11.8 | 16.6 | |
| | | MAX2673 | | 20.5 | 26.8 | |
| Shutdown Supply Current | I _{CC} | SHDN = GND, MAX2660 | | 0.1 | | μA |
| | | SHDN = GND, MAX2661 | | 0.2 | | |
| | | SHDN = GND, MAX2663 | | 0.1 | | |
| | | SHDN = GND, MAX2671 | | 0.2 | | |
| | | SHDN = GND, MAX2673 | | 0.8 | | |
| | | SHDN = 0.5V, V _{CC} = 2.7V to 3.6V | | 5 | | |
| | | SHDN = 0.5V, V _{CC} = 3.6V to 5.5V | | 15 | | |
| Shutdown Input Voltage High | V _{IH} | | 2 | V _{CC} | | V |
| Shutdown Input Voltage Low | V _{IL} | | 0 | 0.5 | | V |
| Shutdown Input Bias Current | I _{IN} | | -5 | 0.2 | 5 | μA |

AC ELECTRICAL CHARACTERISTICS

(V_{CC} = SHDN = +3.0V, T_A = +25°C, unless otherwise noted. Minimum and maximum values are guaranteed by design and characterization.)

| PARAMETER | CONDITIONS | MIN | TYP | MAX | UNITS |
|---|--|-----|------|------|-------|
| MAX2660 (P _{LO} = -5dBm, P _{IFIN} = -30dBm, Circuit of Figure 1) | | | | | |
| Conversion Gain | f _{IF} = 45MHz, f _{LO} = 445MHz, f _{RF} = 400MHz | | 7.0 | | dB |
| | f _{IF} = 70MHz, f _{LO} = 970MHz, f _{RF} = 900MHz | | 7.0 | | |
| | f _{IF} = 70MHz, f _{LO} = 1830MHz, f _{RF} = 1900MHz | 3.9 | 5.9 | 8.1 | |
| | f _{IF} = 240MHz, f _{LO} = 2210MHz, f _{RF} = 2450MHz | | 4.6 | | |
| Gain Variation Over Temperature | f _{IF} = 70MHz, f _{LO} = 1830MHz, f _{RF} = 1900MHz, T _A = -40°C to +85°C | | ±1.2 | ±1.6 | dB |
| Output Third-Order Intercept | f _{IF} = 70MHz, f _{LO} = 970MHz, f _{RF} = 900MHz | | 5.9 | | dBm |
| | f _{IF} = 70MHz, f _{LO} = 1830MHz, f _{RF} = 1900MHz | | 5.7 | | |
| | f _{IF} = 240MHz, f _{LO} = 2210MHz, f _{RF} = 2450MHz | | 4.1 | | |

400MHz~2.5GHzアップコンバータミキサ

AC ELECTRICAL CHARACTERISTICS (continued)

($V_{CC} = SHDN = +3.0V$, $T_A = +25^\circ C$, unless otherwise noted. Minimum and maximum values are guaranteed by design and characterization.)

| PARAMETER | CONDITIONS | MIN | TYP | MAX | UNITS |
|--|--|-----------|-----------|------|---------------|
| MAX2660 ($P_{LO} = -5\text{dBm}$, $P_{IFIN} = -30\text{dBm}$, Circuit of Figure 1) (continued) | | | | | |
| Output 1dB Compression Point | $f_{IF} = 70\text{MHz}$, $f_{LO} = 970\text{MHz}$, $f_{RF} = 900\text{MHz}$ | -8.4 | | | dBm |
| | $f_{IF} = 70\text{MHz}$, $f_{LO} = 1830\text{MHz}$, $f_{RF} = 1900\text{MHz}$ | -10.8 | | | |
| | $f_{IF} = 240\text{MHz}$, $f_{LO} = 2210\text{MHz}$, $f_{RF} = 2450\text{MHz}$ | -11.4 | | | |
| Noise Figure (Single Sideband) | $f_{IF} = 70\text{MHz}$, $f_{LO} = 970\text{MHz}$, $f_{RF} = 1900\text{MHz}$ | 9.9 | | | dB |
| | $f_{IF} = 70\text{MHz}$, $f_{LO} = 1830\text{MHz}$, $f_{RF} = 1900\text{MHz}$ | 11.8 | | | |
| | $f_{IF} = 350\text{MHz}$, $f_{LO} = 2100\text{MHz}$, $f_{RF} = 2450\text{MHz}$ | 11.9 | | | |
| LO Emission from RF Port | $f_{IF} = 70\text{MHz}$, $f_{LO} = 970\text{MHz}$, $f_{RF} = 900\text{MHz}$ | -22.0 | | | dBm |
| | $f_{IF} = 70\text{MHz}$, $f_{LO} = 1830\text{MHz}$, $f_{RF} = 1900\text{MHz}$ | -20.7 | | | |
| | $f_{IF} = 240\text{MHz}$, $f_{LO} = 2210\text{MHz}$, $f_{RF} = 2450\text{MHz}$ | -22.5 | | | |
| Maximum LO Input VSWR | $f = 600\text{MHz}$ to 2500MHz , 50Ω source impedance | 2.2 | | | |
| Maximum Output Spurious Emissions | $f_{IF} = 70\text{MHz}$, $f_{LO} = 1830\text{MHz}$, $f_{RF} = 1900\text{MHz}$ (Note 1) | -70 | | | dBm |
| Turn-On Time | (Note 2) | 2 | | | μs |
| Turn-Off Time | From $SHDN$ low to $I_{CC} < 100\mu\text{A}$ | 2 | | | μs |
| MAX2661 ($P_{LO} = -5\text{dBm}$, $P_{IFIN} = -30\text{dBm}$, Circuit of Figure 1) | | | | | |
| Conversion Gain | $f_{IF} = 45\text{MHz}$, $f_{LO} = 445\text{MHz}$, $f_{RF} = 400\text{MHz}$ | 10.2 | | | dB |
| | $f_{IF} = 70\text{MHz}$, $f_{LO} = 970\text{MHz}$, $f_{RF} = 900\text{MHz}$ | 10.7 | | | |
| | $f_{IF} = 70\text{MHz}$, $f_{LO} = 1830\text{MHz}$, $f_{RF} = 1900\text{MHz}$ | 7.0 | 8.5 | 10.2 | |
| | $f_{IF} = 240\text{MHz}$, $f_{LO} = 2210\text{MHz}$, $f_{RF} = 2450\text{MHz}$ | 8.2 | | | |
| Gain Variation Over Temperature | $f_{IF} = 70\text{MHz}$, $f_{LO} = 1830\text{MHz}$, $f_{RF} = 1900\text{MHz}$, $T_A = -40^\circ C$ to $+85^\circ C$ | ± 1.2 | ± 1.5 | | dB |
| Output Third-Order Intercept | $f_{IF} = 70\text{MHz}$, $f_{LO} = 970\text{MHz}$, $f_{RF} = 900\text{MHz}$ | 7.1 | | | dBm |
| | $f_{IF} = 70\text{MHz}$, $f_{LO} = 1830\text{MHz}$, $f_{RF} = 1900\text{MHz}$ | 6.0 | | | |
| | $f_{IF} = 240\text{MHz}$, $f_{LO} = 2210\text{MHz}$, $f_{RF} = 2450\text{MHz}$ | 7.3 | | | |
| Output 1dB Compression Point | $f_{IF} = 70\text{MHz}$, $f_{LO} = 970\text{MHz}$, $f_{RF} = 900\text{MHz}$ | -6.0 | | | dBm |
| | $f_{IF} = 70\text{MHz}$, $f_{LO} = 1830\text{MHz}$, $f_{RF} = 1900\text{MHz}$ | -7.2 | | | |
| | $f_{IF} = 240\text{MHz}$, $f_{LO} = 2210\text{MHz}$, $f_{RF} = 2450\text{MHz}$ | -6.2 | | | |
| Noise Figure (Single Sideband) | $f_{IF} = 70\text{MHz}$, $f_{LO} = 970\text{MHz}$, $f_{RF} = 900\text{MHz}$ | 9.8 | | | dB |
| | $f_{IF} = 70\text{MHz}$, $f_{LO} = 1830\text{MHz}$, $f_{RF} = 1900\text{MHz}$ | 11.6 | | | |
| | $f_{IF} = 350\text{MHz}$, $f_{LO} = 2100\text{MHz}$, $f_{RF} = 2450\text{MHz}$ | 11.8 | | | |
| LO Emission from RF Port | $f_{IF} = 70\text{MHz}$, $f_{LO} = 970\text{MHz}$, $f_{RF} = 900\text{MHz}$ | -22.9 | | | dBm |
| | $f_{IF} = 70\text{MHz}$, $f_{LO} = 1830\text{MHz}$, $f_{RF} = 1900\text{MHz}$ | -21.6 | | | |
| | $f_{IF} = 240\text{MHz}$, $f_{LO} = 2210\text{MHz}$, $f_{RF} = 2450\text{MHz}$ | -23.5 | | | |
| Maximum LO Input VSWR | $f = 600\text{MHz}$ to 2500MHz , 50Ω source impedance | 2.2 | | | |
| Maximum Output Spurious Emissions | $f_{IF} = 70\text{MHz}$, $f_{LO} = 1830\text{MHz}$, $f_{RF} = 1900\text{MHz}$ (Note 1) | -57.3 | | | dBm |
| Turn-On Time | (Note 2) | 2 | | | μs |
| Turn-Off Time | From $SHDN$ low to $I_{CC} < 100\mu\text{A}$ | 2 | | | μs |

400MHz ~ 2.5GHzアップコンバータミキサ

AC ELECTRICAL CHARACTERISTICS (continued)

($V_{CC} = SHDN = +3.0V$, $T_A = +25^\circ C$, unless otherwise noted. Minimum and maximum values are guaranteed by design and characterization.)

| PARAMETER | CONDITIONS | MIN | TYP | MAX | UNITS |
|---|--|-------|-----------|-----------|---------------|
| MAX2663 ($P_{LO} = -5\text{dBm}$, $P_{IFIN} = -30\text{dBm}$, Circuit of Figure 1) | | | | | |
| Conversion Gain | $f_{IF} = 45\text{MHz}$, $f_{LO} = 445\text{MHz}$, $f_{RF} = 400\text{MHz}$ | 2.0 | | | dB |
| | $f_{IF} = 70\text{MHz}$, $f_{LO} = 970\text{MHz}$, $f_{RF} = 900\text{MHz}$ | 3.4 | | | |
| | $f_{IF} = 70\text{MHz}$, $f_{LO} = 1830\text{MHz}$, $f_{RF} = 1900\text{MHz}$ | -0.1 | 2.1 | 4.2 | |
| | $f_{IF} = 240\text{MHz}$, $f_{LO} = 2210\text{MHz}$, $f_{RF} = 2450\text{MHz}$ | 1.4 | | | |
| Gain Variation Over Temperature | $f_{IF} = 70\text{MHz}$, $f_{LO} = 1830\text{MHz}$, $f_{RF} = 1900\text{MHz}$, $T_A = -40^\circ C$ to $+85^\circ C$ | | ± 1.1 | ± 1.8 | dB |
| Output Third-Order Intercept | $f_{IF} = 70\text{MHz}$, $f_{LO} = 970\text{MHz}$, $f_{RF} = 900\text{MHz}$ | 0.7 | | | dBm |
| | $f_{IF} = 70\text{MHz}$, $f_{LO} = 1830\text{MHz}$, $f_{RF} = 1900\text{MHz}$ | -1.4 | | | |
| | $f_{IF} = 240\text{MHz}$, $f_{LO} = 2210\text{MHz}$, $f_{RF} = 2450\text{MHz}$ | -2.8 | | | |
| Output 1dB Compression Point | $f_{IF} = 70\text{MHz}$, $f_{LO} = 970\text{MHz}$, $f_{RF} = 900\text{MHz}$ | -12.3 | | | dBm |
| | $f_{IF} = 70\text{MHz}$, $f_{LO} = 1830\text{MHz}$, $f_{RF} = 1900\text{MHz}$ | -13.3 | | | |
| | $f_{IF} = 240\text{MHz}$, $f_{LO} = 2210\text{MHz}$, $f_{RF} = 2450\text{MHz}$ | -14.3 | | | |
| Noise Figure (Single Sideband) | $f_{IF} = 70\text{MHz}$, $f_{LO} = 970\text{MHz}$, $f_{RF} = 900\text{MHz}$ | 10.7 | | | dB |
| | $f_{IF} = 70\text{MHz}$, $f_{LO} = 1830\text{MHz}$, $f_{RF} = 1900\text{MHz}$ | 12.2 | | | |
| | $f_{IF} = 350\text{MHz}$, $f_{LO} = 2100\text{MHz}$, $f_{RF} = 2450\text{MHz}$ | 12.7 | | | |
| LO Emission from RF Port | $f_{IF} = 70\text{MHz}$, $f_{LO} = 970\text{MHz}$, $f_{RF} = 900\text{MHz}$ | -22.7 | | | dBm |
| | $f_{IF} = 70\text{MHz}$, $f_{LO} = 1830\text{MHz}$, $f_{RF} = 1900\text{MHz}$ | -21.0 | | | |
| | $f_{IF} = 240\text{MHz}$, $f_{LO} = 2210\text{MHz}$, $f_{RF} = 2450\text{MHz}$ | -21.6 | | | |
| Maximum LO Input VSWR | $f = 600\text{MHz}$ to 2500MHz , 50Ω source impedance | 2.1 | | | |
| Maximum Output Spurious Emissions | $f_{IF} = 70\text{MHz}$, $f_{LO} = 1830\text{MHz}$, $f_{RF} = 1900\text{MHz}$ (Note 1) | -67 | | | dBm |
| Turn-On Time | (Note 2) | 2 | | | μs |
| Turn-Off Time | From \overline{SHDN} low to $I_{CC} < 100\mu\text{A}$ | 2 | | | μs |
| MAX2671 ($P_{LO} = -10\text{dBm}$, $P_{IFIN} = -30\text{dBm}$, Circuit of Figure 1) | | | | | |
| Conversion Gain | $f_{IF} = 45\text{MHz}$, $f_{LO} = 445\text{MHz}$, $f_{RF} = 400\text{MHz}$ | 10.0 | | | dB |
| | $f_{IF} = 70\text{MHz}$, $f_{LO} = 970\text{MHz}$, $f_{RF} = 900\text{MHz}$ | 11.2 | | | |
| | $f_{IF} = 70\text{MHz}$, $f_{LO} = 1830\text{MHz}$, $f_{RF} = 1900\text{MHz}$ | 6.7 | 9.3 | 11.9 | |
| | $f_{IF} = 240\text{MHz}$, $f_{LO} = 2210\text{MHz}$, $f_{RF} = 2450\text{MHz}$ | 8.9 | | | |
| Gain Variation Over Temperature | $f_{IF} = 70\text{MHz}$, $f_{LO} = 1830\text{MHz}$, $f_{RF} = 1900\text{MHz}$, $T_A = -40^\circ C$ to $+85^\circ C$ | | ± 1.1 | ± 1.3 | dB |
| Output Third-Order Intercept | $f_{IF} = 70\text{MHz}$, $f_{LO} = 970\text{MHz}$, $f_{RF} = 900\text{MHz}$ | 9.6 | | | dBm |
| | $f_{IF} = 70\text{MHz}$, $f_{LO} = 1830\text{MHz}$, $f_{RF} = 1900\text{MHz}$ | 8.3 | | | |
| | $f_{IF} = 240\text{MHz}$, $f_{LO} = 2210\text{MHz}$, $f_{RF} = 2450\text{MHz}$ | 9.4 | | | |
| Output 1dB Compression Point | $f_{IF} = 70\text{MHz}$, $f_{LO} = 970\text{MHz}$, $f_{RF} = 900\text{MHz}$ | -5.5 | | | dBm |
| | $f_{IF} = 70\text{MHz}$, $f_{LO} = 1830\text{MHz}$, $f_{RF} = 1900\text{MHz}$ | -6.4 | | | |
| | $f_{IF} = 240\text{MHz}$, $f_{LO} = 2210\text{MHz}$, $f_{RF} = 2450\text{MHz}$ | -6.0 | | | |

400MHz ~ 2.5GHzアップコンバータミキサ

AC ELECTRICAL CHARACTERISTICS (continued)

($V_{CC} = SHDN = +3.0V$, $T_A = +25^\circ C$, unless otherwise noted. Minimum and maximum values are guaranteed by design and characterization.)

| PARAMETER | CONDITIONS | MIN | TYP | MAX | UNITS |
|---|--|-----------|-----------|------|---------------|
| MAX2671 ($P_{LO} = -10\text{dBm}$, $P_{IFIN} = -30\text{dBm}$, Circuit of Figure 1) (continued) | | | | | |
| Noise Figure (Single Sideband) | $f_{IF} = 70\text{MHz}$, $f_{LO} = 970\text{MHz}$, $f_{RF} = 900\text{MHz}$ | 9.3 | | | dB |
| | $f_{IF} = 70\text{MHz}$, $f_{LO} = 1830\text{MHz}$, $f_{RF} = 1900\text{MHz}$ | 10.7 | | | |
| | $f_{IF} = 350\text{MHz}$, $f_{LO} = 2100\text{MHz}$, $f_{RF} = 2450\text{MHz}$ | 11.3 | | | |
| LO Emission from RF Port | $f_{IF} = 70\text{MHz}$, $f_{LO} = 970\text{MHz}$, $f_{RF} = 900\text{MHz}$ | -40.3 | | | dBm |
| | $f_{IF} = 70\text{MHz}$, $f_{LO} = 1830\text{MHz}$, $f_{RF} = 1900\text{MHz}$ | -35.7 | | | |
| | $f_{IF} = 240\text{MHz}$, $f_{LO} = 2210\text{MHz}$, $f_{RF} = 2450\text{MHz}$ | -36.8 | | | |
| Maximum LO Input VSWR | $f = 600\text{MHz}$ to 2500MHz , 50Ω source impedance | 2.2 | | | dBm |
| Maximum Output Spurious Emissions | $f_{IF} = 70\text{MHz}$, $f_{LO} = 1830\text{MHz}$, $f_{RF} = 1900\text{MHz}$ (Note 1) | -56 | | | dBm |
| Turn-On Time | (Note 2) | 2 | | | μs |
| Turn-Off Time | From $SHDN$ low to $I_{CC} < 100\mu\text{A}$ | 2 | | | μs |
| MAX2673 ($P_{LO} = -10\text{dBm}$, $P_{IFIN_} = -30\text{dBm}$, Circuit of Figure 2) | | | | | |
| Conversion Gain | $f_{IF} = 45\text{MHz}$, $f_{LO} = 445\text{MHz}$, $f_{RF} = 400\text{MHz}$ | 12.6 | | | dB |
| | $f_{IF} = 70\text{MHz}$, $f_{LO} = 970\text{MHz}$, $f_{RF} = 900\text{MHz}$ | 12.3 | | | |
| | $f_{IF} = 70\text{MHz}$, $f_{LO} = 1830\text{MHz}$, $f_{RF} = 1900\text{MHz}$ | 7.8 | 9.2 | 10.6 | |
| | $f_{IF} = 240\text{MHz}$, $f_{LO} = 2210\text{MHz}$, $f_{RF} = 2450\text{MHz}$ | 8.6 | | | |
| Gain Variation Over Temperature | $f_{IF} = 70\text{MHz}$, $f_{LO} = 1830\text{MHz}$, $f_{RF} = 1900\text{MHz}$, $T_A = -40^\circ C$ to $+85^\circ C$ | ± 1.0 | ± 1.4 | | dB |
| Output Third-Order Intercept | $f_{IF} = 70\text{MHz}$, $f_{LO} = 970\text{MHz}$, $f_{RF} = 900\text{MHz}$ | 7.6 | | | dBm |
| | $f_{IF} = 70\text{MHz}$, $f_{LO} = 1830\text{MHz}$, $f_{RF} = 1900\text{MHz}$ | 5.9 | | | |
| | $f_{IF} = 240\text{MHz}$, $f_{LO} = 2210\text{MHz}$, $f_{RF} = 2450\text{MHz}$ | 4.5 | | | |
| Output 1dB Compression Point | $f_{IF} = 70\text{MHz}$, $f_{LO} = 970\text{MHz}$, $f_{RF} = 900\text{MHz}$ | -2.1 | | | dBm |
| | $f_{IF} = 70\text{MHz}$, $f_{LO} = 1830\text{MHz}$, $f_{RF} = 1900\text{MHz}$ | -5.9 | | | |
| | $f_{IF} = 240\text{MHz}$, $f_{LO} = 2210\text{MHz}$, $f_{RF} = 2450\text{MHz}$ | -8.3 | | | |
| Noise Figure (Single Sideband) | $f_{IF} = 70\text{MHz}$, $f_{LO} = 970\text{MHz}$, $f_{RF} = 900\text{MHz}$ | 9.7 | | | dB |
| | $f_{IF} = 70\text{MHz}$, $f_{LO} = 1830\text{MHz}$, $f_{RF} = 1900\text{MHz}$ | 10.1 | | | |
| | $f_{IF} = 350\text{MHz}$, $f_{LO} = 2100\text{MHz}$, $f_{RF} = 2450\text{MHz}$ | 10.4 | | | |
| LO Emission from RF Port | $f_{IF} = 70\text{MHz}$, $f_{LO} = 970\text{MHz}$, $f_{RF} = 900\text{MHz}$ | -29.4 | | | dBm |
| | $f_{IF} = 70\text{MHz}$, $f_{LO} = 1830\text{MHz}$, $f_{RF} = 1900\text{MHz}$ | -27.9 | | | |
| | $f_{IF} = 240\text{MHz}$, $f_{LO} = 2210\text{MHz}$, $f_{RF} = 2450\text{MHz}$ | -26.6 | | | |
| Maximum LO Input VSWR | $f = 600\text{MHz}$ to 2500MHz , 50Ω source impedance | 2.2 | | | |
| Maximum Output Spurious Emissions | $f_{IF} = 70\text{MHz}$, $f_{LO} = 1830\text{MHz}$, $f_{RF} = 1900\text{MHz}$ (Note 1) | -59.7 | | | dBm |
| Turn-On Time | (Note 2) | 2 | | | μs |
| Turn-Off Time | From $SHDN$ low to $I_{CC} < 100\mu\text{A}$ | 2 | | | μs |

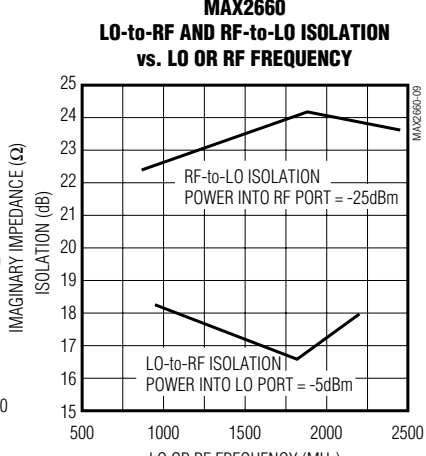
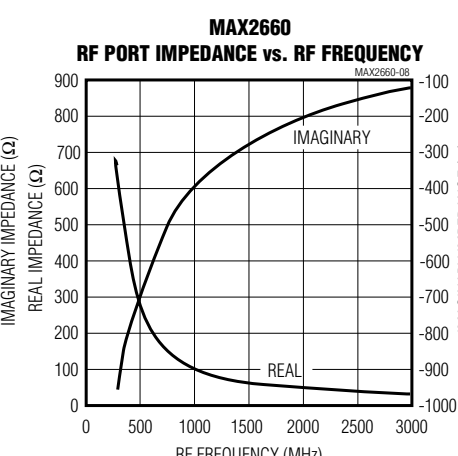
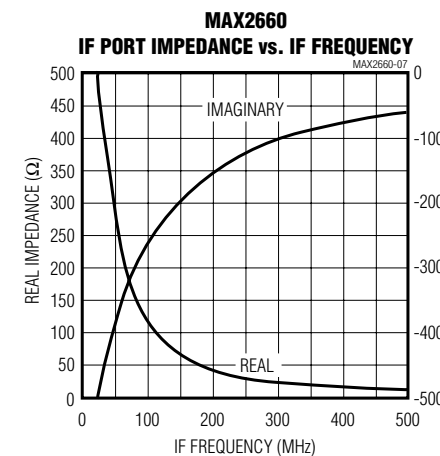
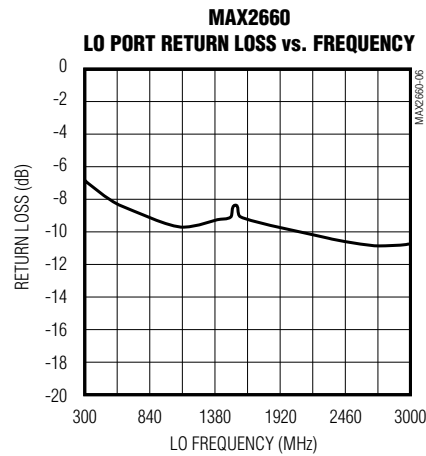
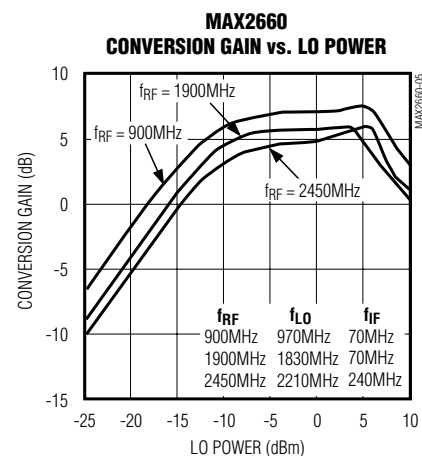
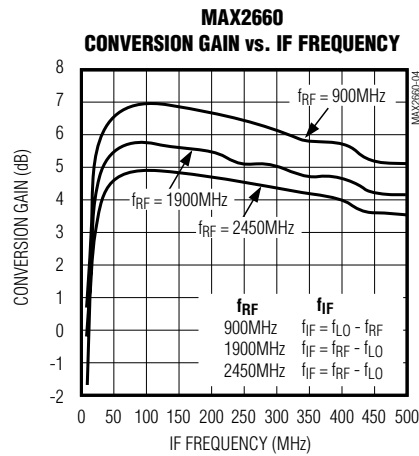
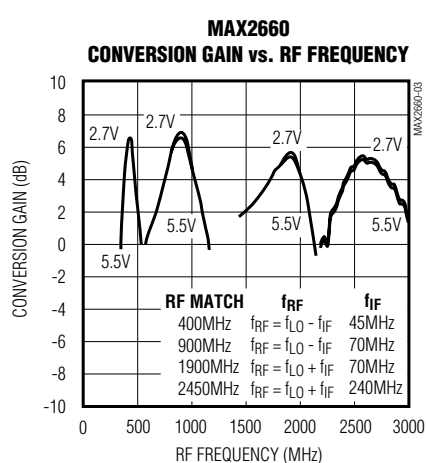
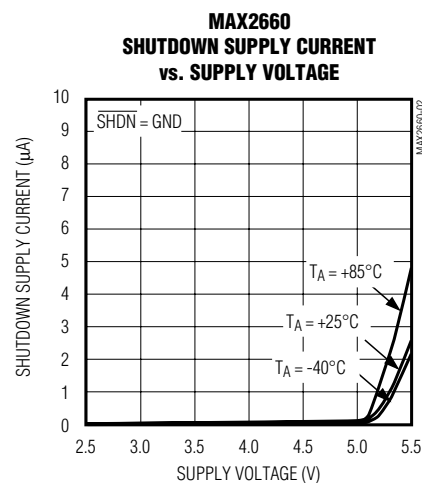
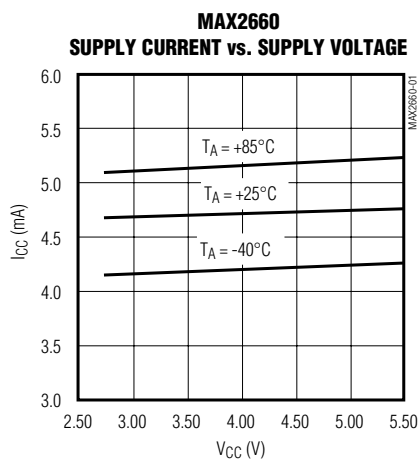
Note 1: Excluding LO harmonics and products of LO harmonics by first-order IF.

Note 2: From $SHDN$ high to output within 1dB of final output power, $f_{RF} = 900\text{MHz}$, $f_{IF} = 70\text{MHz}$.

400MHz~2.5GHzアップコンバータミキサ

標準動作特性

($V_{CC} = \overline{SHDN} = +3.0V$, Typical Operating Circuits, $P_{LO} = -5\text{dBm}$ (MAX2660/MAX2661/MAX2663), $P_{LO} = -10\text{dBm}$ (MAX2671/MAX2673), $P_{IFIN} = -30\text{dBm}$, $T_A = +25^\circ\text{C}$, unless otherwise noted.)

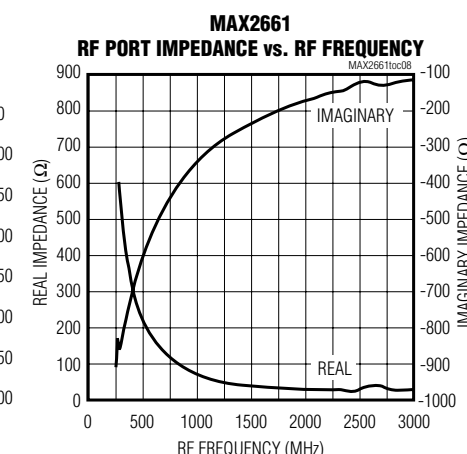
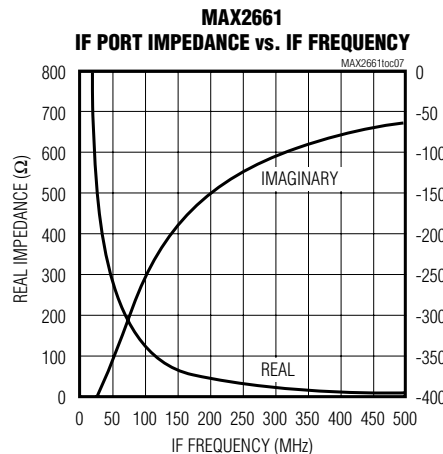
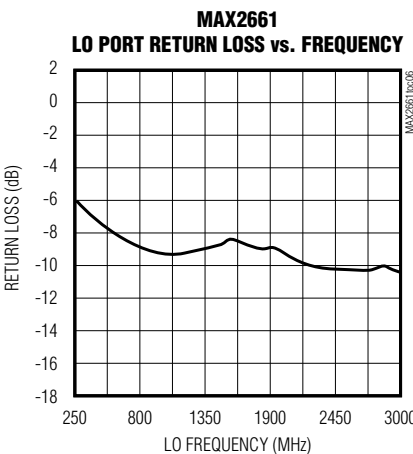
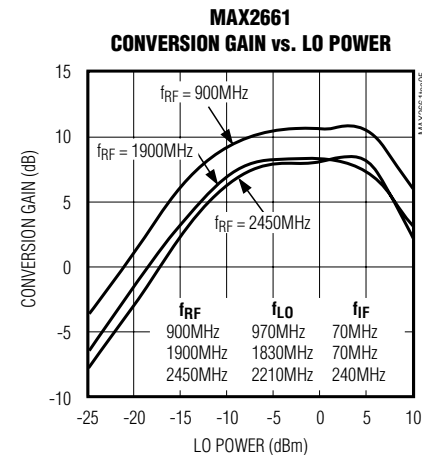
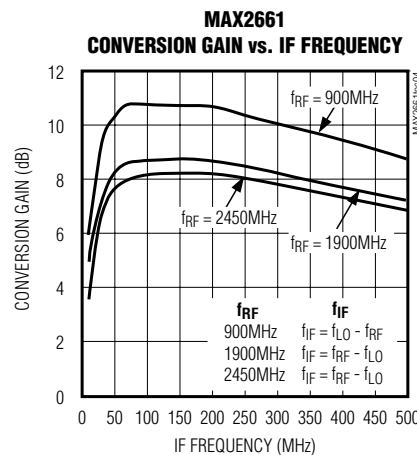
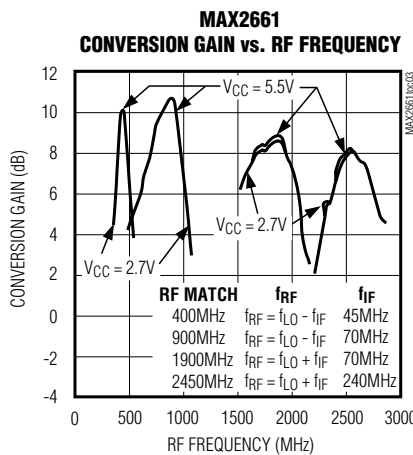
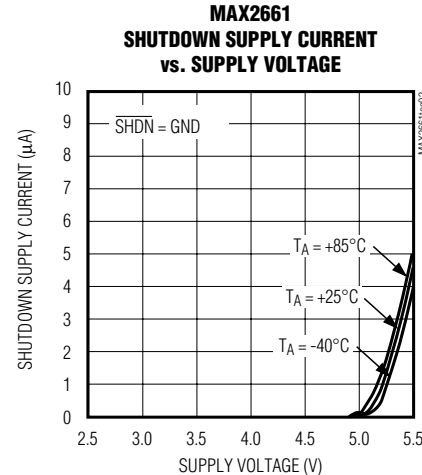
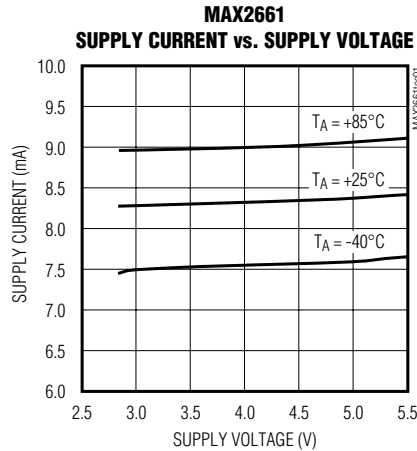
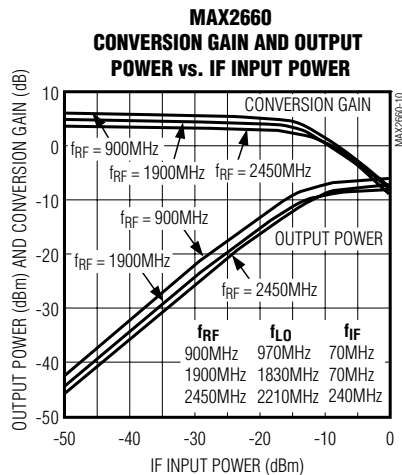


400MHz~2.5GHzアップコンバータミキサ

MAX2660/MAX2661/MAX2663/MAX2671/MAX2673

標準動作特性(続き)

($V_{CC} = \overline{SHDN} = +3.0V$, Typical Operating Circuits, $P_{LO} = -5\text{dBm}$ (MAX2660/MAX2661/MAX2663), $P_{LO} = -10\text{dBm}$ (MAX2671/MAX2673), PFIN = -30dBm , $T_A = +25^\circ\text{C}$, unless otherwise noted.)



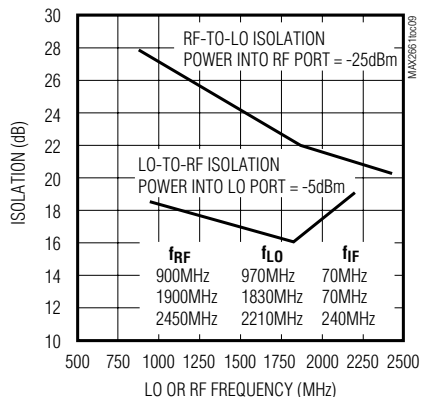
400MHz ~ 2.5GHzアップコンバータミキサ

標準動作特性(続き)

($V_{CC} = \bar{SHDN} = +3.0V$, Typical Operating Circuits, $P_{LO} = -5\text{dBm}$ (MAX2660/MAX2661/MAX2663), $P_{LO} = -10\text{dBm}$ (MAX2671/MAX2673), PFIN = -30dBm , $T_A = +25^\circ\text{C}$, unless otherwise noted.)

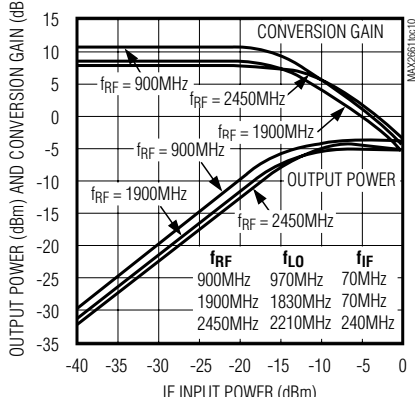
MAX2661

LO-to-RF AND RF-to-LO ISOLATION vs. LO OR RF FREQUENCY



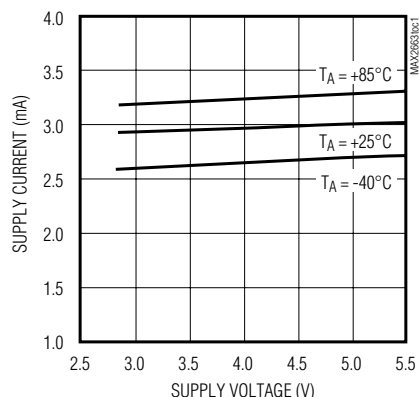
MAX2661

CONVERSION GAIN AND OUTPUT POWER vs. IF INPUT POWER

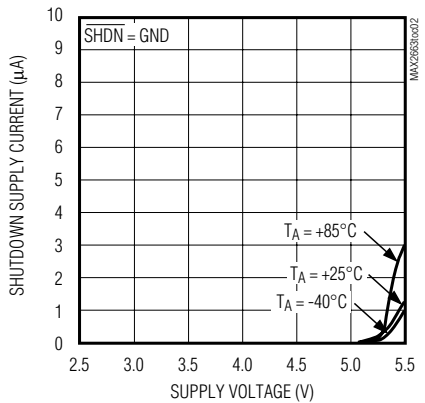


MAX2663

SUPPLY CURRENT vs. SUPPLY VOLTAGE

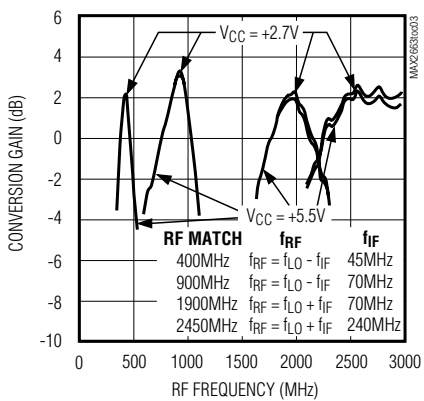


MAX2663 SHUTDOWN SUPPLY CURRENT vs. SUPPLY VOLTAGE



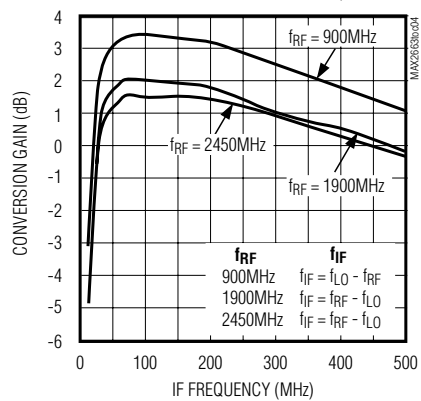
MAX2663

CONVERSION GAIN vs. RF FREQUENCY

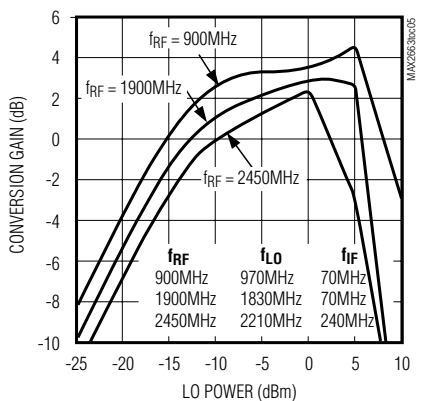


MAX2663

CONVERSION GAIN vs. IF FREQUENCY

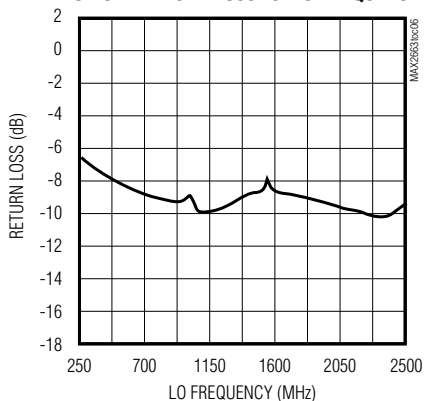


MAX2663 CONVERSION GAIN vs. LO POWER



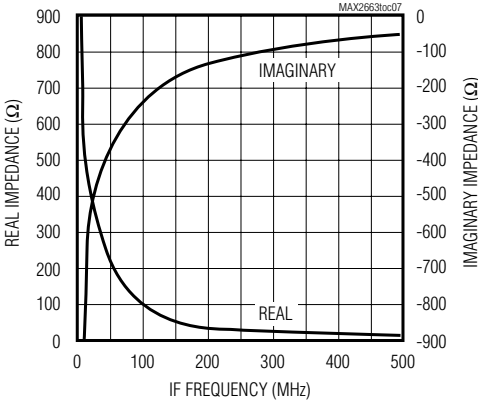
MAX2663

LO PORT RETURN LOSS vs. LO FREQUENCY



MAX2663

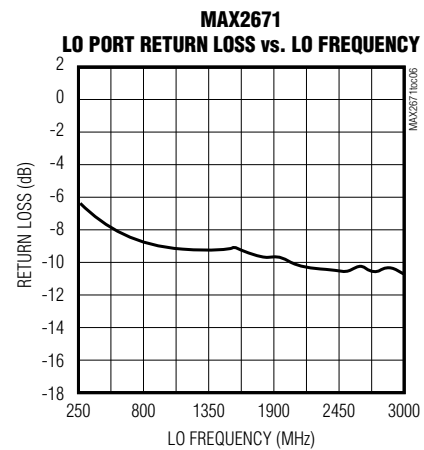
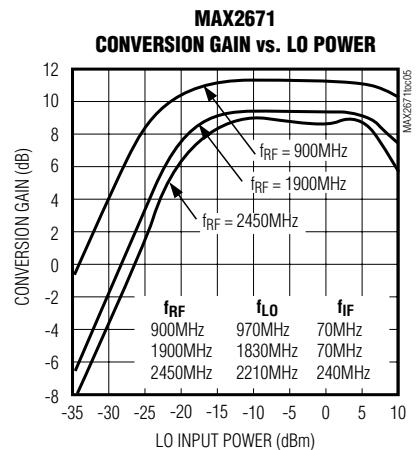
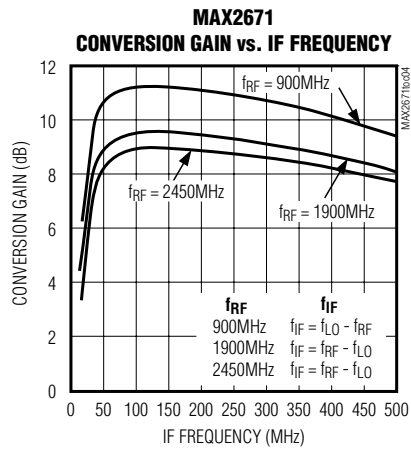
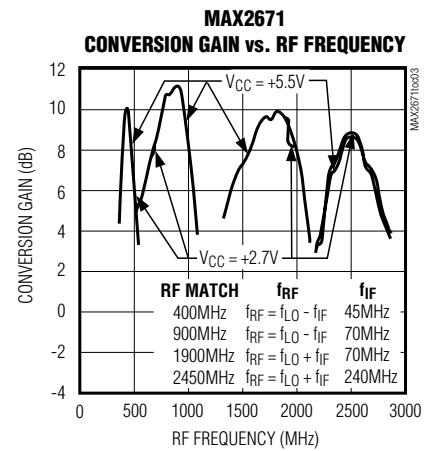
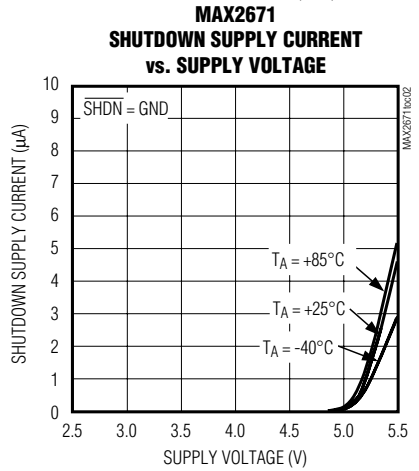
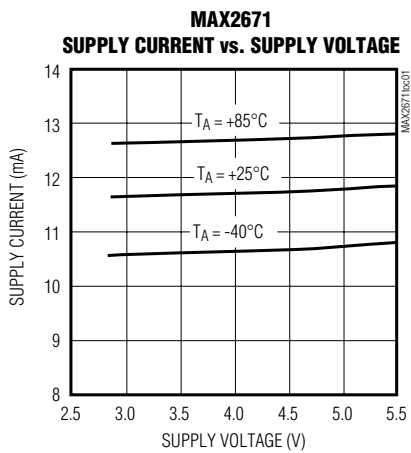
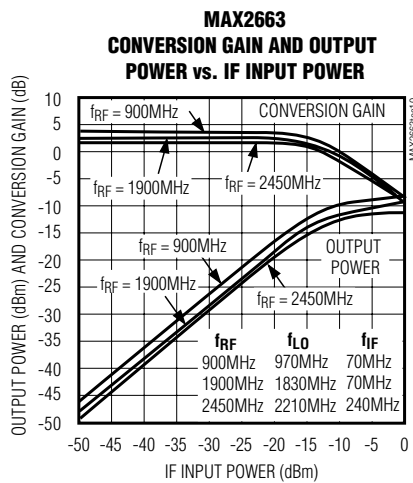
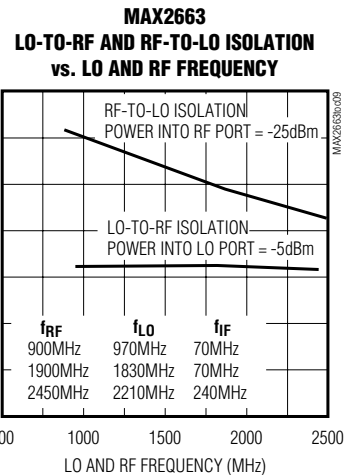
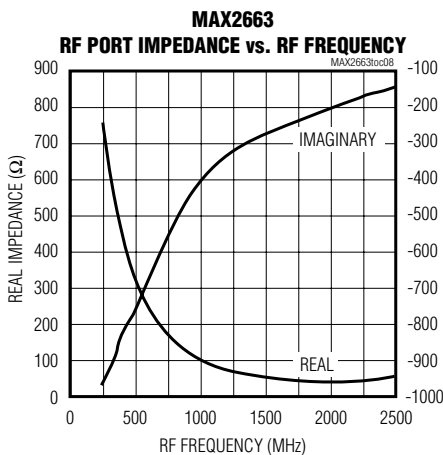
IF PORT IMPEDANCE vs. IF FREQUENCY



400MHz~2.5GHzアップコンバータミキサ

標準動作特性(続き)

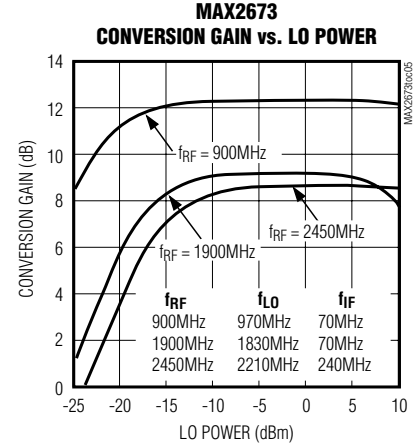
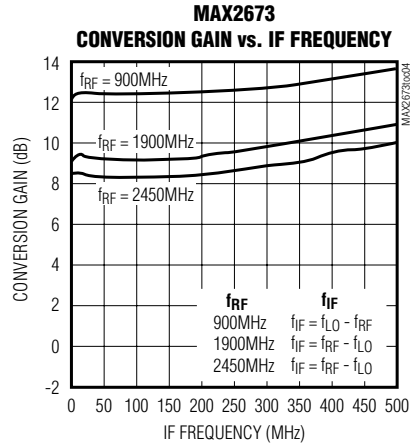
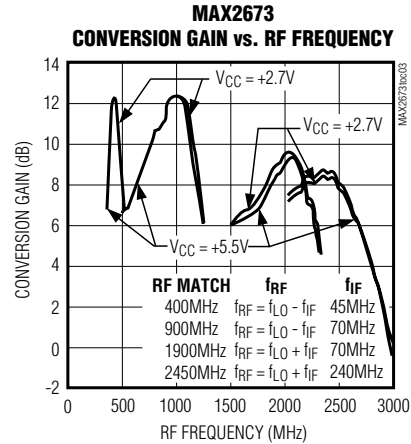
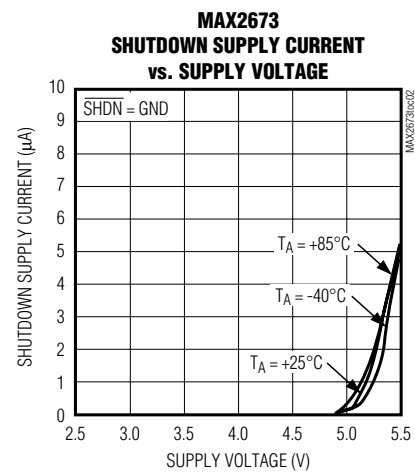
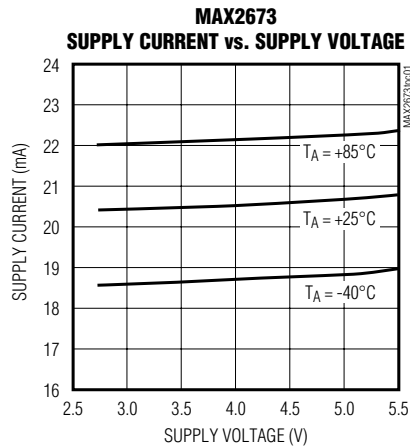
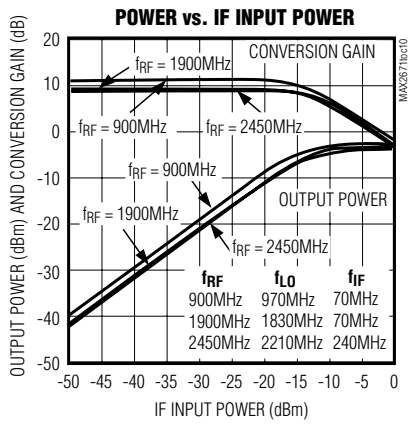
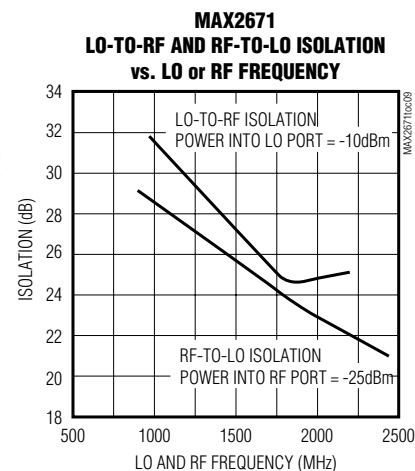
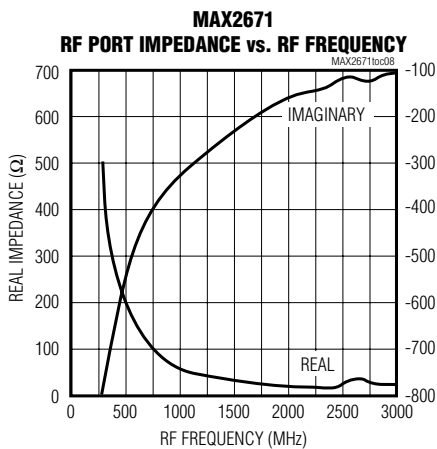
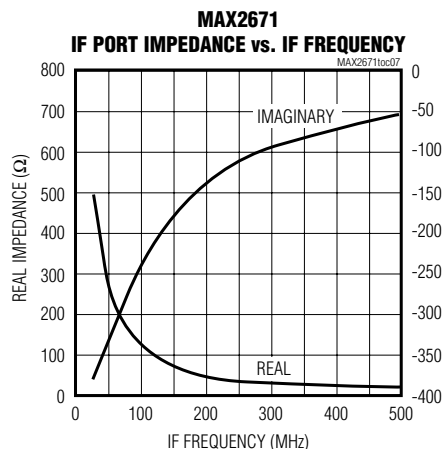
($V_{CC} = \bar{SHDN} = +3.0V$, Typical Operating Circuits, $P_{LO} = -5\text{dBm}$ (MAX2660/MAX2661/MAX2663), $P_{LO} = -10\text{dBm}$ (MAX2671/MAX2673), PIFIN = -30dBm , $T_A = +25^\circ\text{C}$, unless otherwise noted.)



400MHz ~ 2.5GHzアップコンバータミキサ

標準動作特性(続き)

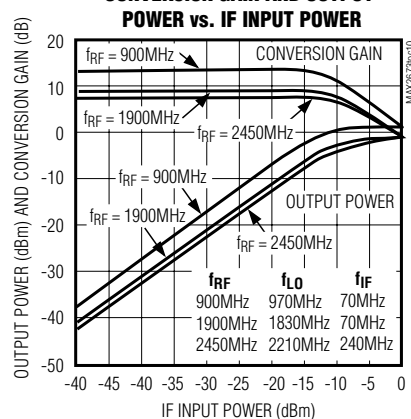
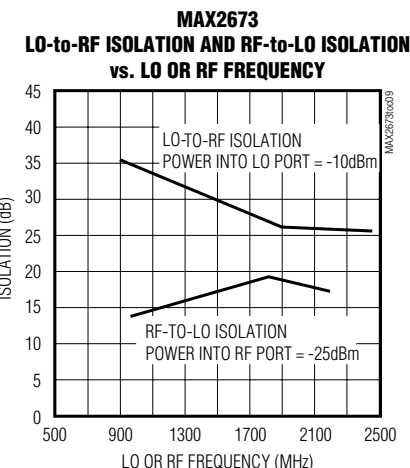
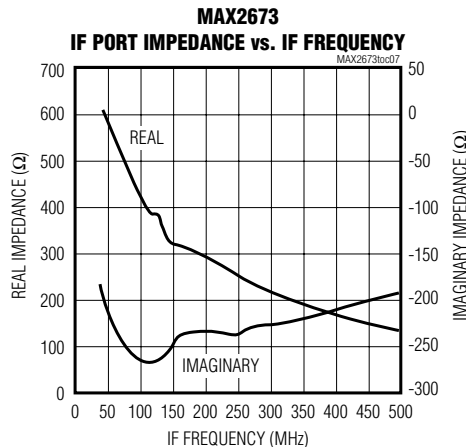
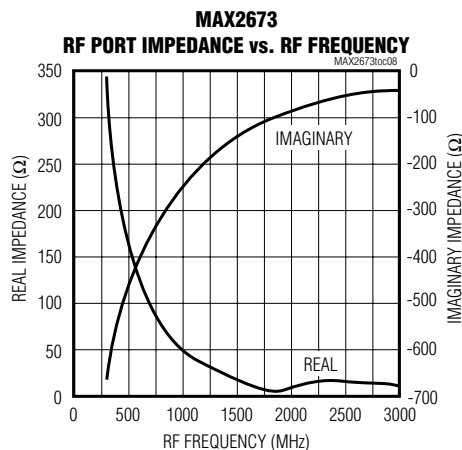
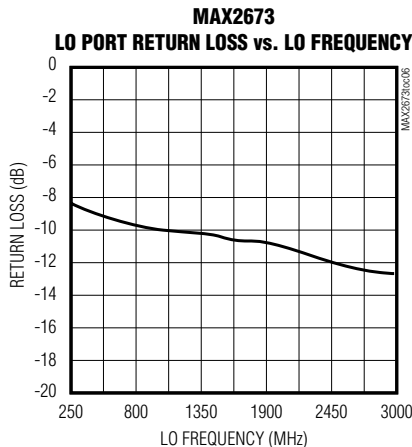
($V_{CC} = \bar{SHDN} = +3.0V$, Typical Operating Circuits, $P_{LO} = -5\text{dBm}$ (MAX2660/MAX2661/MAX2663), $P_{LO} = -10\text{dBm}$ (MAX2671/MAX2673), $P_{IFIN} = -30\text{dBm}$, $T_A = +25^\circ\text{C}$, unless otherwise noted.)



400MHz~2.5GHzアップコンバータミキサ

標準動作特性(続き)

($V_{CC} = \bar{SHDN} = +3.0V$, Typical Operating Circuits, $P_{LO} = -5\text{dBm}$ (MAX2660/MAX2661/MAX2663), $P_{LO} = -10\text{dBm}$ (MAX2671/MAX2673), $PIFIN = -30\text{dBm}$, $T_A = +25^\circ\text{C}$, unless otherwise noted.)



400MHz~2.5GHzアップコンバータミキサ

端子説明

| 端子 | | 名称 | 機能 |
|--|---------|-----------------|--|
| MAX2660 MAX2661 MAX2663 MAX2671 | MAX2673 | | |
| 1 | 1 | LO | ローカルオシレータ入力。信号振幅はMAX2671/MAX2673で-10dBm ~ +5dBm、またMAX2660/MAX2661/MAX2663は-5dBm ~ +2dBm。DCブロッキングコンデンサを使用し、オシレータをACカップリングします。公称DC電圧は、V _{CC} -0.4V ~ V _{CC} -1.0V。 |
| 2 | 2, 6 | GND | ミキサグランド。グランドプレーンを低インダクタに接続。 |
| 3 | 7, 8 | IFIN | IF入力。DCブロッキングコンデンサを使用し、入力信号をACカップリングします。公称DC電圧は、1.37V。 |
| 4 | 5 | RFOUT | RF出力。オープンコレクタ出力はインダクタを介してインピーダンスマッチングネットワークの一部であるV _{CC} へ接続する必要があります。この端子にインピーダンスマッチングネットワークの一部であるブロッキングコンデンサを使用し、ACカップリングします。インピーダンスマッチングの詳細については、アプリケーション情報を参照。 |
| 5 | 4 | V _{CC} | 電源電圧範囲+2.7V ~ +5.5V。コンデンサとグランドプレーンにバイパスします。コンデンサの値は、目的周波数により異なります。 |
| 6 | 3 | SHDN | アクティブローシャットダウン端子。ローでのドライブは全機能を停止し、消費電流を1μA以下に低減。通常動作では、ハイ又はV _{CC} に接続。 |

400MHz~2.5GHzアップコンバータミキサ

詳細

MAX2660/MAX2661/MAX2663/MAX2671/MAX2673は、一定の消費電流で適切な直線性を実現する2.5GHzのダブルバランスアップコンバータミキサです。これらのアップコンバータミキサは、シングルエンドされたRF、LO、及びIFポート接続を使用します。但しMAX2673は、差動IFポートと使用します。また内蔵のバイアスセルで、ローパワーシャットダウンを実現します。各デバイスの特長、比較は「選択ガイド」を参照してください。

アプリケーション情報

ローカルオシレータ(LO)入力

LO入力は、シングルエンドの広帯域ポートで、600MHzから2.5GHzにおいてリターンロスを8dB以下に抑えます。LO信号は入力IF信号と混合され、その結果アップコンバート出力はRFOUT端子に出力します。LO端子はLO周波数でリアクタンスが3 以下のコンデンサでACカップリングしてください。MAX2671/MAX2673はLOバッファを内蔵し、-10dBm ~ +5dBmのLO信号範囲を、またMAX2660/MAX2661/MAX2663では-5dBm ~ +2dBmのLO信号範囲を必要とします。

IF入力

MAX2660/MAX2661/MAX2663/MAX2671は、シングルエンドのIF入力ポートを備えています。一方MAX2673は差動IF入力ポートを備え、差動IFフィルタに対する高性能インタフェースを形成しています。IF端子をコンデンサでACカップリングします。標準IF入力周波数範囲は40MHz ~ 500MHzです。詳しくは、「標準動作特性」の、「IF Port Impedance vs. IF Frequency」のグラフを参照してください。

RF出力

RF出力周波数は400MHz ~ 2.5GHzと広範囲です。RFOUTはハイインピーダンス、オープンコレクタ出力で、適切にバイアスを行うためには、V_{CC}に外付けインダクタを用いてください。最高の性能を得るには、インピーダンスマッチングネットワークを使用してください。マッチングネットワークの構成及び数値は、周波数、性能、必要な出力インピーダンスによって異なります。最適な性能を得るために部品の選択が必要です。表1及び「標準動作特性」の「RF Output Impedance vs. RF Frequency」のグラフを参照してください。

電源及びSHDNのバイパス

電源のバイパスにあたって注意しなければならない点は、高周波RF回路です。V_{CC}を10μFコンデンサでバイパスし、RFコンデンサと並列にしてください(表2)。また各バイパス コンデンサを別な経路でグランドプレーンへ接続し、トレース長を最短にしインダクタンスを低減します。さらに各グランド端子は個別に、グランドプレーンへと接続します。グランドの接続にはインダクタンスが低いものを使用します。

100pFコンデンサのSHDNをグランドにデカップリングし、内部バイアスセルのノイズを最小限に抑えます。ここでは直列抵抗(通常100)を使用し、SHDN端子に高周波信号が入り込まないようにします。

レイアウトの問題

PCボードを性能良く設計することが、RF回路では不可欠です。最適な性能を得るには、電源およびRFOUTマッチングネットワークのレイアウトに充分注意してください。

電源のレイアウト

IC各セクション間のカップリングを最小とするには、理想的な電源レイアウトとしてスター型構成が考えられます。この構成は中央にV_{CC}ノードを配置し、大容量のデカップリングコンデンサを接続する構成です。中央ノードから各V_{CC}トレースを分岐させ、PCボードの個別V_{CC}ノードに向かわせます。各トレースの終端はバイパスコンデンサでRF周波数動作時に低ESRになるようにします。これにより、各V_{CC}端子においてローカルデカップリングが行えます。周波数が高い場合、電源端子から信号がリークしているものは、中央V_{CC}ノードが極めて高いインピーダンス(V_{CC}トレースによるインダクタンスのため)となるため、その他の電源端子でもインピーダンスはより高くなります。またバイパスコンデンサを介してグランドに対しローインピーダンスとなります。

インピーダンスマッチングネットワークの レイアウト

RFOUTマッチングネットワークは、レイアウトに関連する寄生要因に対し非常に敏感です。寄生インダクタンスを最小とするには全トレースを短くするほか、デバイスにできるだけ近接した場所に部品を配置してください。また寄生容量を最小とするには、マッチングネットワークの下部ではグランドプレーンを配し、その他のプレーンをカットするようにしてください。

400MHz~2.5GHzアップコンバータミキサ

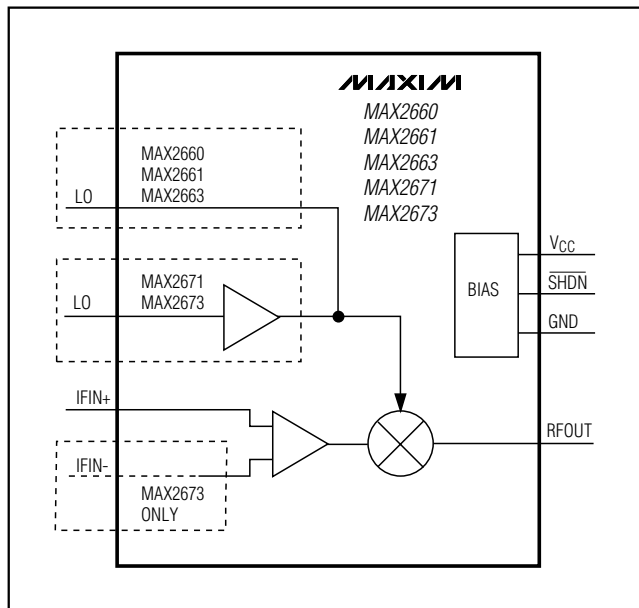
表1. RF出力インピーダンス

| PART | RF OUTPUT IMPEDANCE (Ω) | | | |
|---------|----------------------------------|-----------|------------|------------|
| | AT 400MHz | AT 900MHz | AT 1900MHz | AT 2450MHz |
| MAX2660 | 480-j732 | 126-j459 | 65-j190 | 46-j124 |
| MAX2661 | 357-j649 | 92-j375 | 54-j152 | 38-j99 |
| MAX2663 | 485-j718 | 130-j453 | 65-j188 | 45-j123 |
| MAX2671 | 333-j613 | 82-j360 | 46-j150 | 31-j95 |
| MAX2673 | 220-j530 | 70-j290 | 35-j110 | 32-j70 |

表2. 標準動作回路(外部部品の定数値)

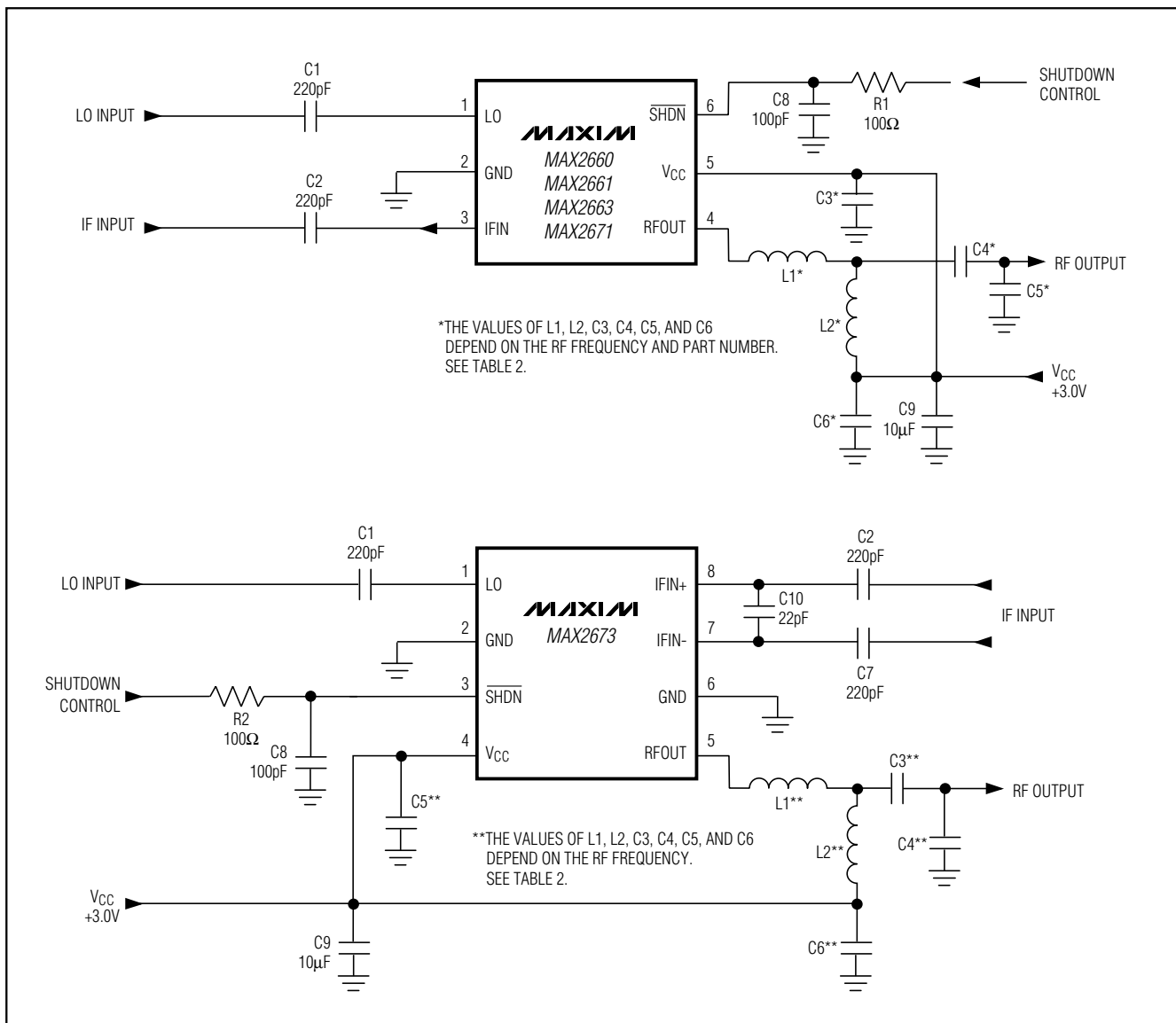
| COMPONENT | COMPONENT VALUE AT A GIVEN FREQUENCY (MHz) | | | | | | | | | | | | | | | |
|-----------|--|--------|---------|---------|-----------------|--------|---------|---------|---------|--------|---------|---------|---------|--------|---------|---------|
| | MAX2660 | | | | MAX2661/MAX2671 | | | | MAX2663 | | | | MAX2673 | | | |
| | AT 400 | AT 900 | AT 1900 | AT 2450 | AT 400 | AT 900 | AT 1900 | AT 2450 | AT 400 | AT 900 | AT 1900 | AT 2450 | AT 400 | AT 900 | AT 1900 | AT 2450 |
| L1 (nH) | Short | 33 | 8.2 | 3.3 | Short | 33 | 8.2 | 3.3 | Short | 33 | 8.2 | 3.3 | Short | 27 | 5.6 | 3.9 |
| L2 (nH) | 39 | 18 | 2.7 | 2.2 | 39 | 18 | 2.7 | 1.8 | 39 | 18 | 1.8 | 1.8 | 39 | 18 | 4.7 | 6.8 |
| C3 (pF) | 470 | 47 | 47 | 47 | 470 | 47 | 47 | 47 | 470 | 47 | 47 | 47 | 3.3 | 220 | 10 | 15 |
| C4 (pF) | 3.3 | 220 | 220 | 15 | 3.3 | 220 | 100 | 220 | 3.3 | 220 | 100 | 220 | 6.8 | 1.5 | 1.5 | 1 |
| C5 (pF) | 6.8 | 1 | 1.5 | Open | 6.8 | 1 | 1.5 | Open | 6.8 | 1.8 | 1.8 | Open | 470 | 47 | 47 | 47 |
| C6 (pF) | 470 | 47 | 47 | 15 | 470 | 47 | 100 | 47 | 470 | 47 | 100 | 47 | 470 | 100 | 100 | 100 |

ファンクション ダイアグラム



400MHz~2.5GHzアップコンバータミキサ

標準動作回路



400MHz~2.5GHzアップコンバータミキサ

パッケージ

